



Fig. 39. Calcificarea distrofică a arterei coronariene în ateroscleroză (colorație H.E.: $\times 70$). ✓

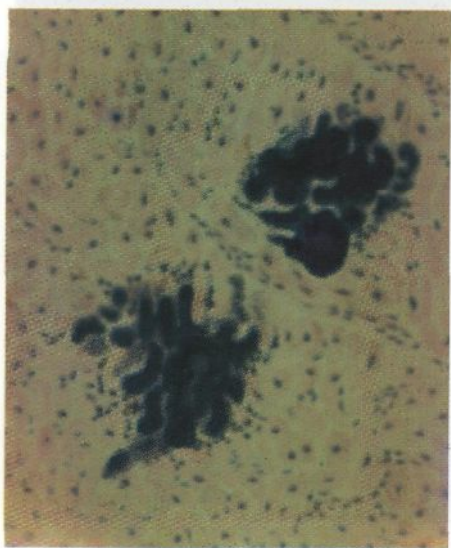


Fig. 40. Metastaze calcare în miocard (colorație H.E.: $\times 70$). ✓

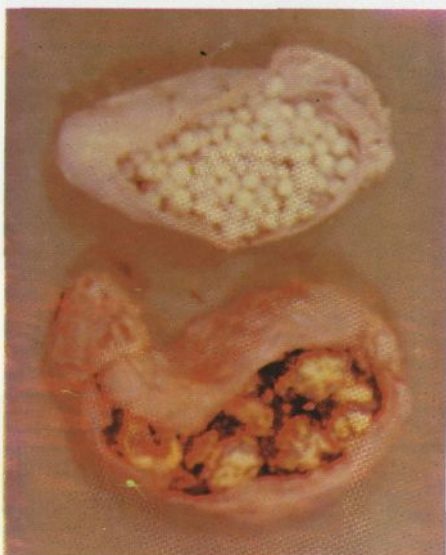


Fig. 41. Calculi biliari.

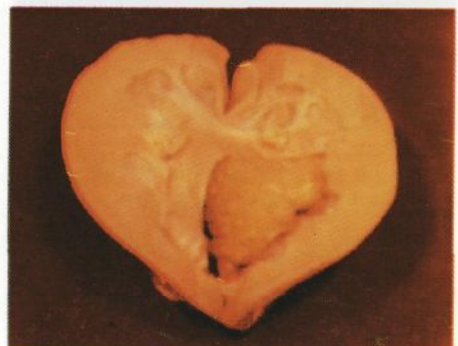


Fig. 42. Calculi renali.

Scansat cu un tablet 70 gr
17 x 11 cm

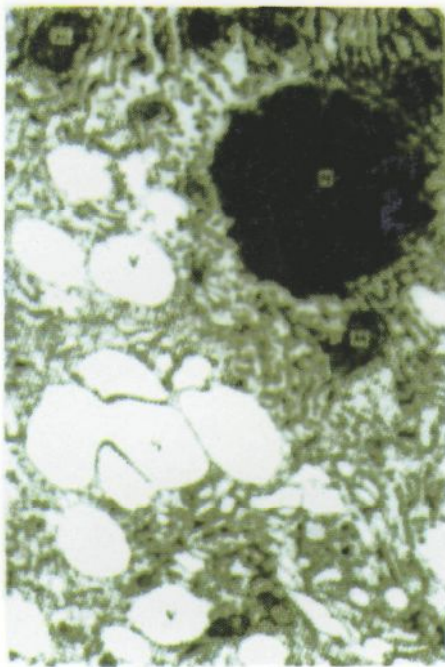


Fig. 43. Necroza celulei, cariopicnoză (microscopie electronică: $\times 17\ 500$):
N - nucleul; *V* - vacuole; *RE* - reticulul endoplasmatic; *AC* - aparatul Golgi; *M* - mitocondrii.



Fig. 44. Necroza focală (parțială) a cardiomiocitului (microscopie electronică: $\times 10\ 000$): *M* - mitocondrii; *FN* - focar de necroză.

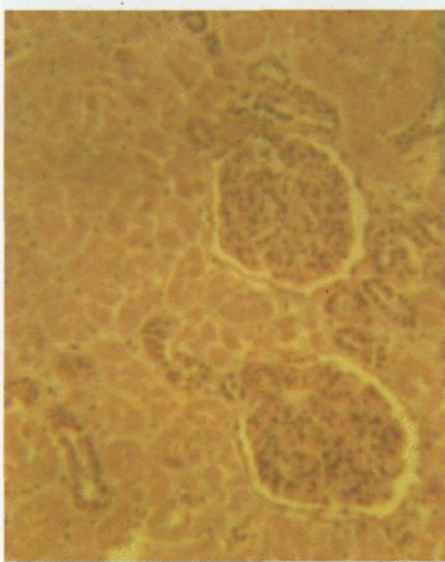


Fig. 45. Necroza epitelului tubilor renali contorți (colorație H.E.: $\times 70$).

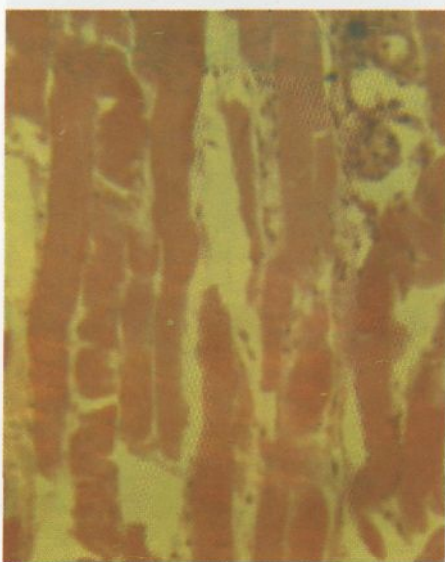


Fig. 46. Necroza ceroasă a mușchiului striat (colorație H.E.: $\times 70$).



Fig. 47. Necroza cazeoasă a ganglionilor limfatici mezenteriali în tuberculoză:
a - aspect macroscopic; b - tabloul microscopic (colorație H.E.: $\times 70$).

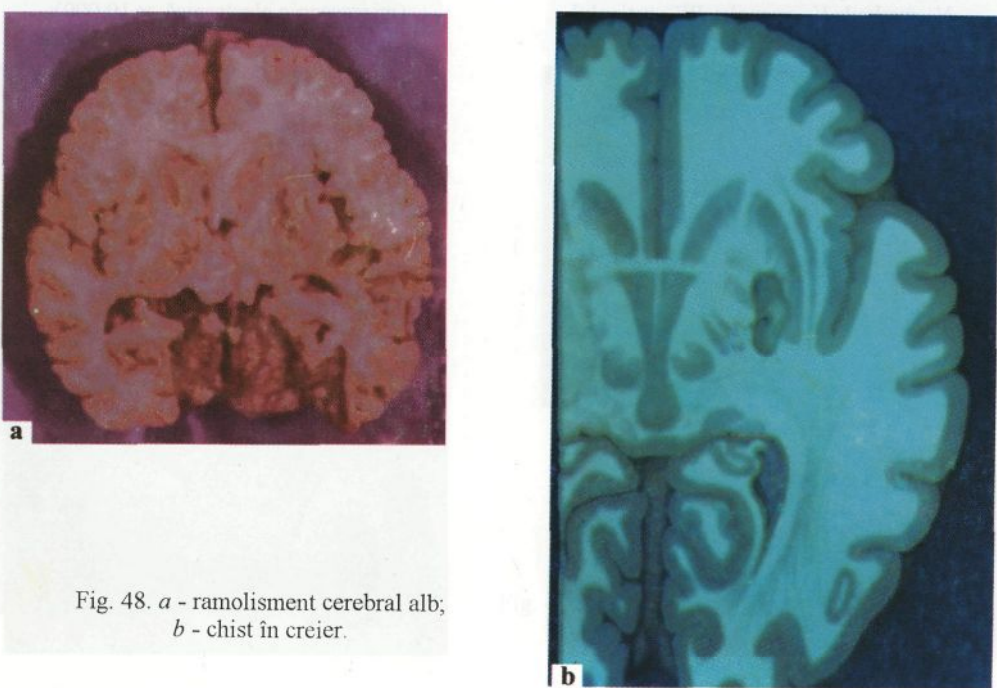


Fig. 48. a - ramolismen cerebral alb;
b - chist în creier.



Fig. 49. Gangrena uscată a piciorului.



Fig. 50. Gangrena umedă a piciorului.



Fig. 51. Gangrena gazoasă a piciorului.



Fig. 52. Gangrena intestinului subțire.



Fig. 53. Decubitus (escară).



Fig. 54. Osteomielită purulentă cu formare de secheste.

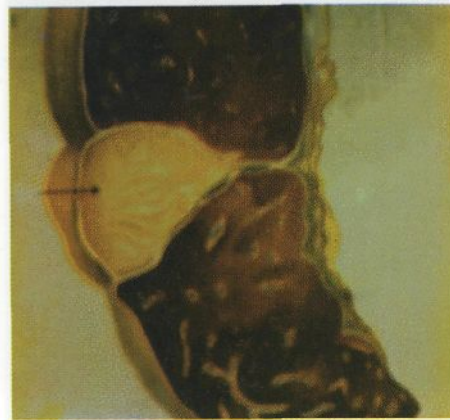


Fig. 56. Cicatrice postinfarct în splină.



Fig. 55. Infarct ischemic al splinei:
a - aspect macroscopic; b - tabloul microscopic (colorație H.E.: $\times 70$).





Fig. 57. Indurația cianotică a rinichiului.



a



b

Fig. 59. Hiperemias venoasă cronică a ficatului (ficat muscad):
a - aspect macroscopic; b - tablou microscopic (colorează H.E.: $\times 70$).

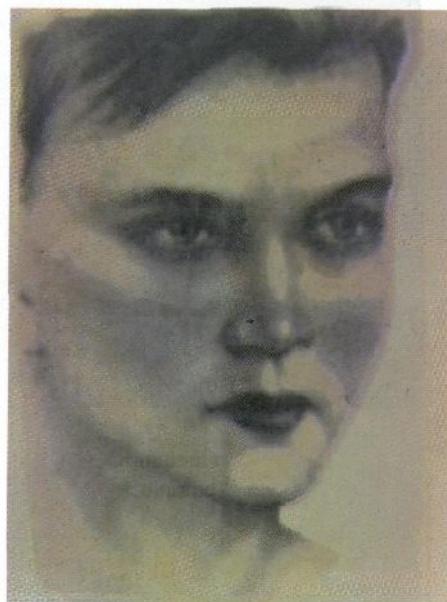


Fig. 58. Cianoza pielii feței și mucoasei buzelor.

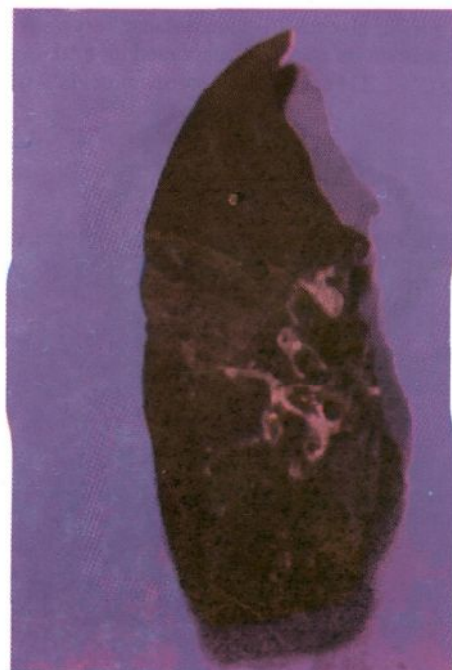


Fig. 61. Indurația brună a plămânlui.

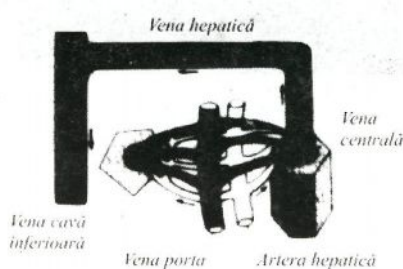


Fig. 60. Schema dezvoltării ficatului muscad.

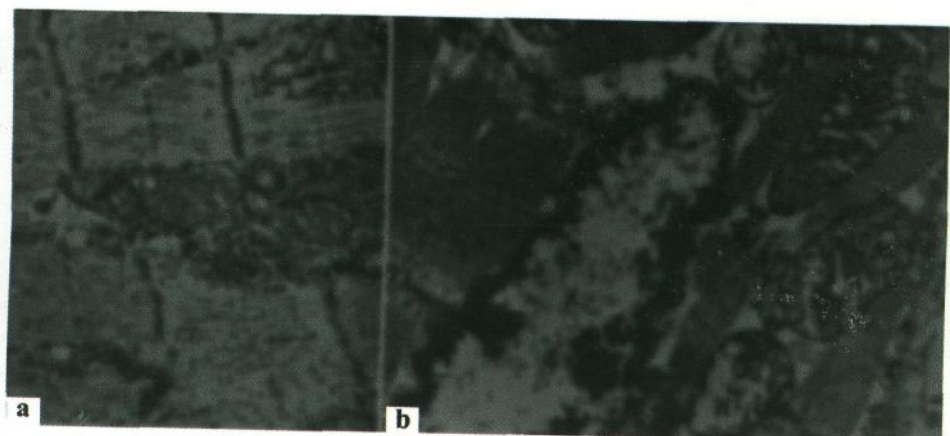


Fig. 62. Stadiul ischemic al infarctului miocardic (microscopie electronică):
a - cardiomiocit normal ($\times 10\,000$);
b - cardiomiocit în ischemie ($\times 15\,000$);
N - nucleu; *M* - mitocondrii.



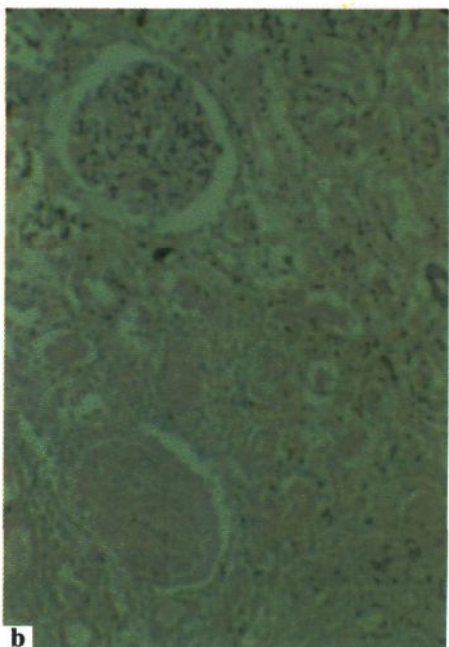
Fig. 63. Infarct miocardic: reacția histotopografică cu albastru de tetrazolium nitrat pentru identificarea succinatdehidrogenazei; diminuarea (dispariția) activității fermentului în zona de ischemie.



Fig. 64. Infarct miocardic: microscopie luminescentă cu oranž de acridină.



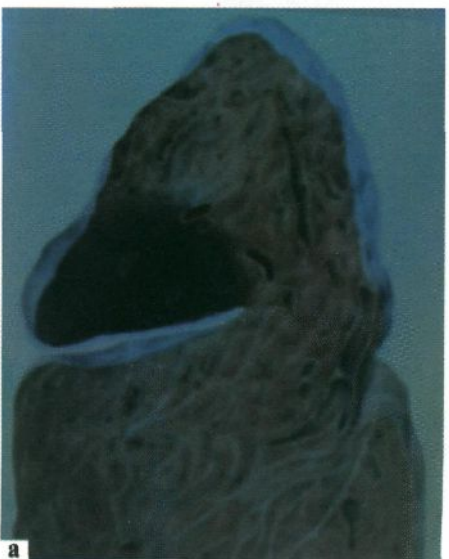
a



b

Fig. 65. Infarct renal:

a - aspect macroscopic: 1 - zona de infarct;
2 - lizereul hemoragic; 3 - vase trombozate;
b - tablou microscopic (colorație H.E.: $\times 70$).



a



b

Fig. 66. Infarct hemoragic pulmonar:

a - aspect macroscopic; b - tablou
microscopic (colorație H.E.: $\times 70$).



Fig. 67. Ulcer gastric cronic, erodarea unei artere de pe fundul ulcerului.

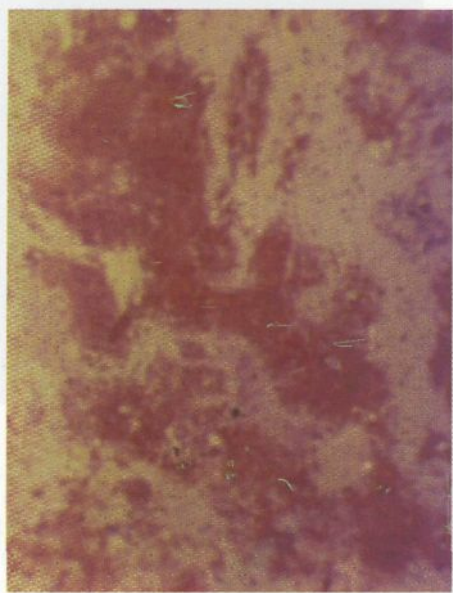


Fig. 68. Hemoragii prin diapedeză în creier (colorație H.E.: $\times 70$).

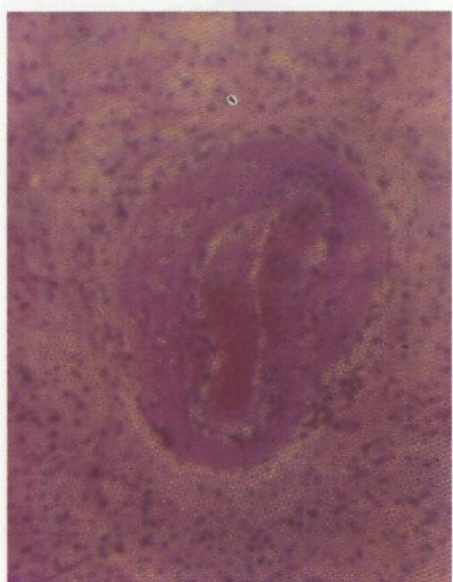


Fig. 69. Infiltrația plasmatică a arterelor cerebrale (colorație H.E.: $\times 70$).

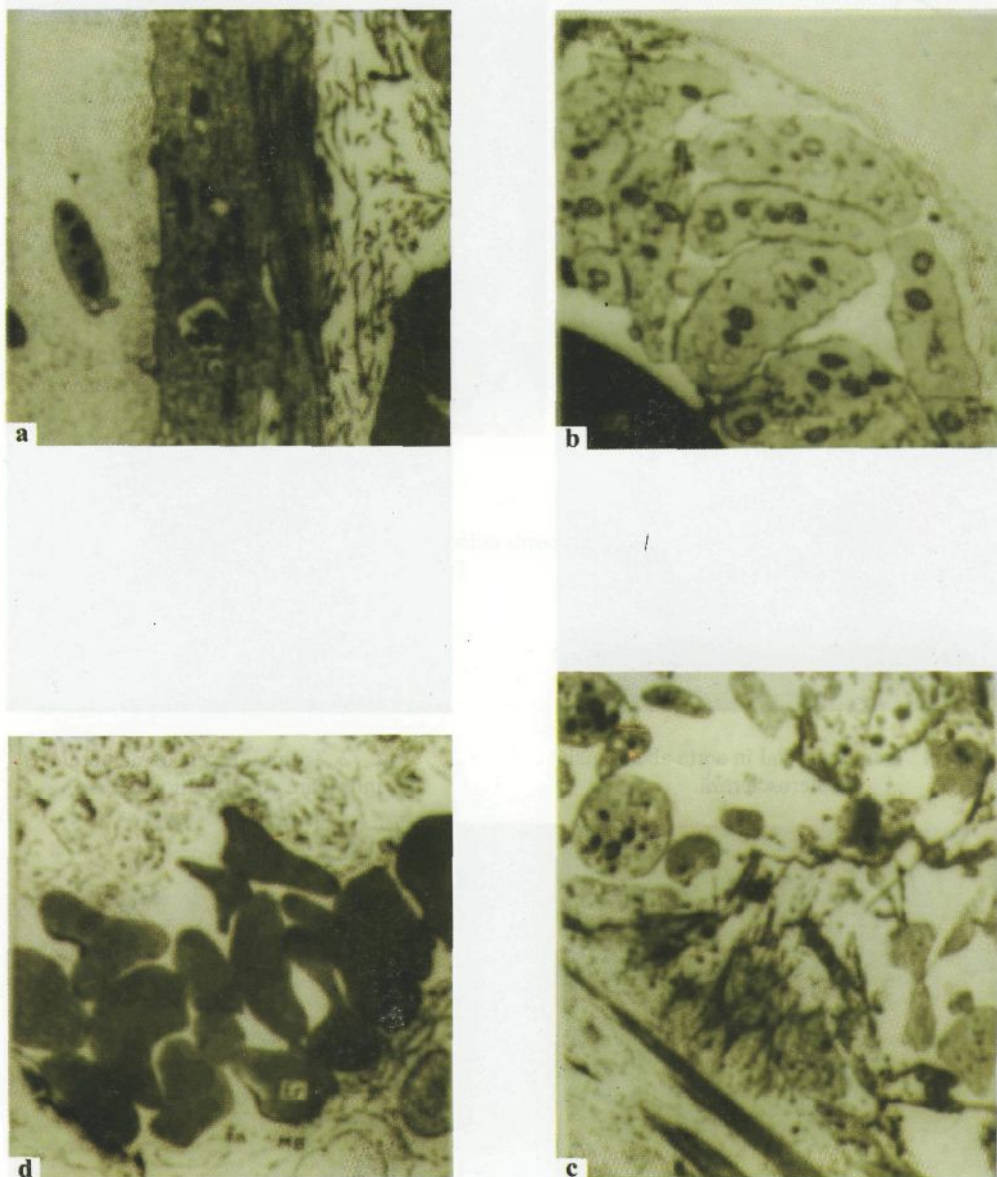


Fig. 70. Stadiile I (a, b), II (c) și III (d) ale formării trombului
 (microscopie electronică: a $\times 9\,000$; b $\times 56\,000$; c $\times 7\,750$; d $\times 58\,000$):
En - endoteliu; *FC* - fibre colagene; *Tr* - trombocite; *M* - mitocondrii; *Er* - eritrocite;
F - filamente de fibrină; *MB* - membrană bazală; *FE* - fibre elastice; *L* - lipidele complexelor
 lipoproteice ale zonelor periferice ale trombocitelor, care favorizează aglutinarea lor.



Fig. 71. Tromb parietal în aorta abdominală în ateroscleroză.



Fig. 72. Trombi în venele membrelor inferioare cu dilatații varicoase.



Fig. 73. Tromb sferic în atriu stâng în stenoza orificiului atrioventricular stâng.



Fig. 74. Anevrism cardiac cronic cu tromboză.

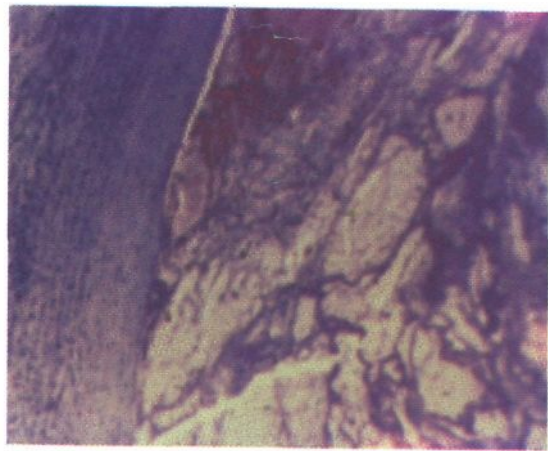


Fig. 75. Tromb vascular mixt recent
(colorație H.E.: $\times 70$).

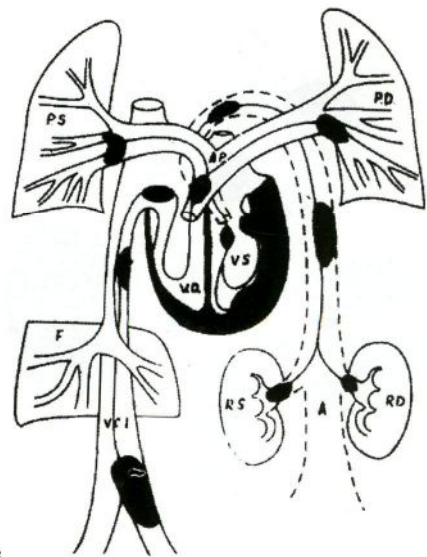


Fig. 77. Schema emboliei directe
(ortograde).

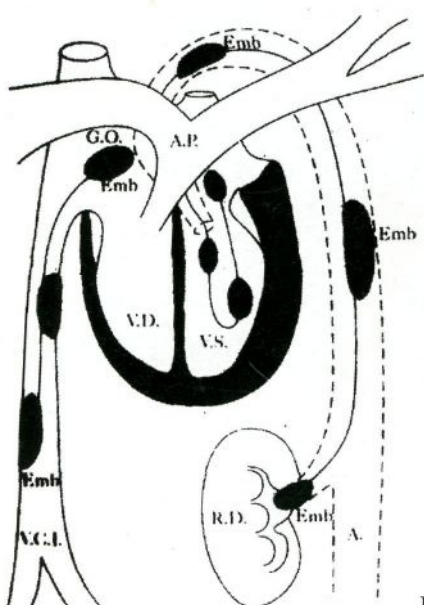


Fig. 76. Tromb în curs de organizare
(colorație H.E.: $\times 70$).

Fig. 78. Schema emboliei paradoxale
(G.o. - gaură ovală).

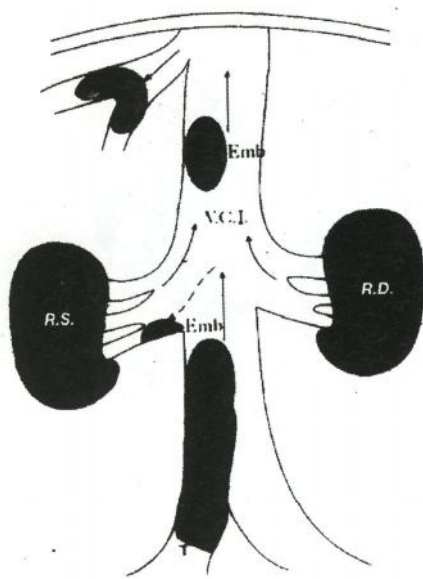


Fig. 79. Schema emboliei retrograde.



Fig. 80. Tromboembolia arterei pulmonare.

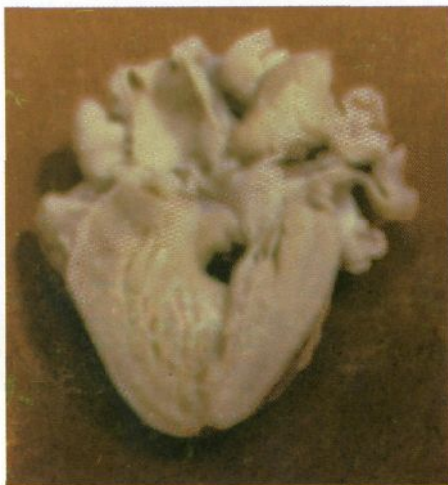


Fig. 81. Viciu cardiac congenital: defect al septului interventricular.

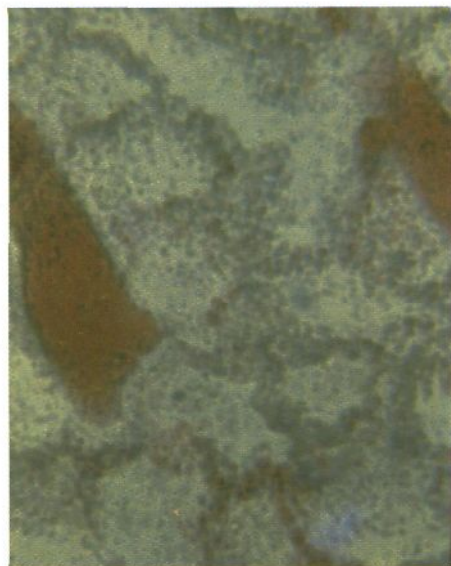


Fig. 82. Embolia grasă a vaselor sanguine pulmonare (colorație cu sudan III: $\times 70$).

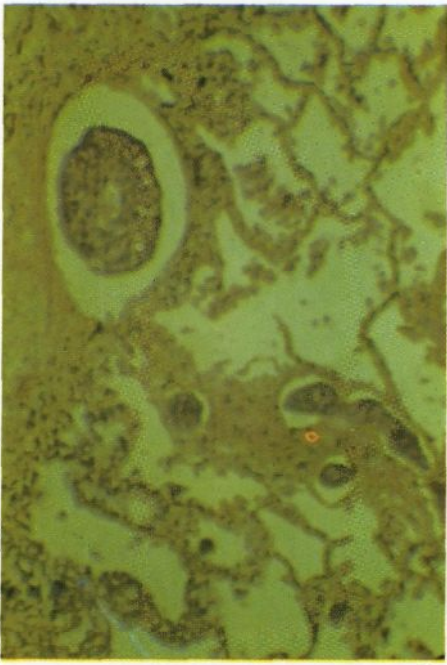


Fig. 83. Embolia canceroasă a vaselor limfaticice pulmonare (colorație H.E.: $\times 70$).



Fig. 84. Metastaze de cancer în plămâni.

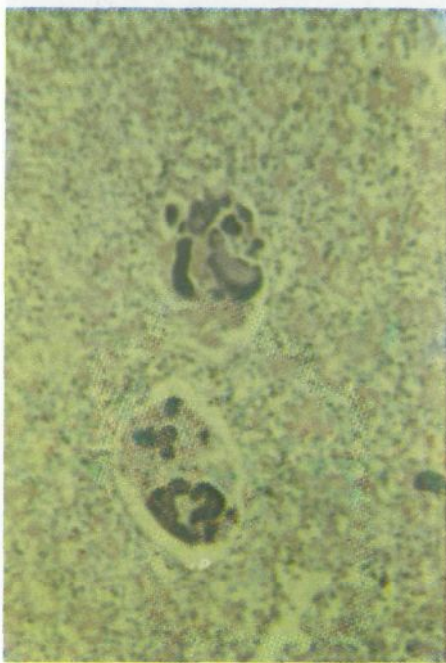


Fig. 85. Embolia bacteriană a capilarelor glomerulilor renali (colorație H.E.: $\times 70$).

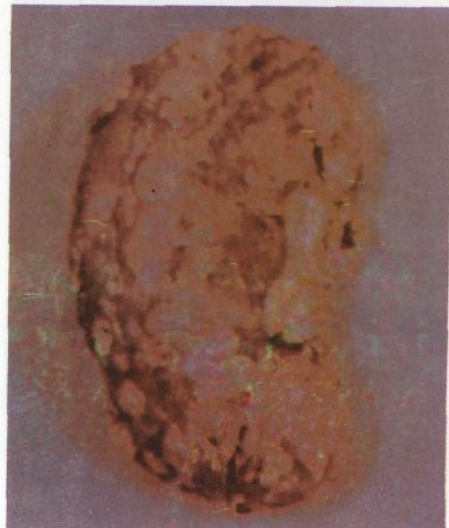


Fig. 86. Nefrită purulentă embolică (abcese metastatice în rinichi).

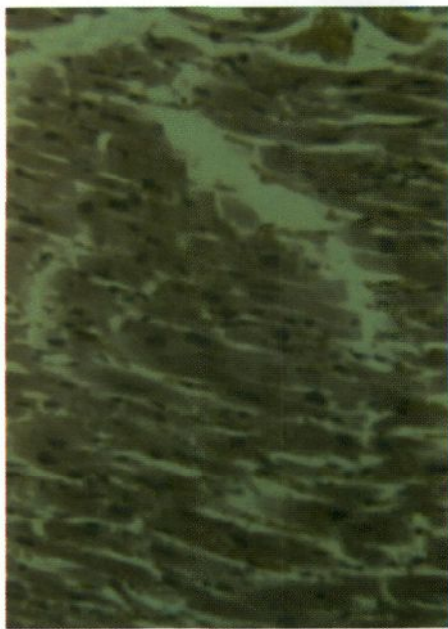


Fig. 87. Stază în capilarele miocardului (colorație H.E.: $\times 110$).

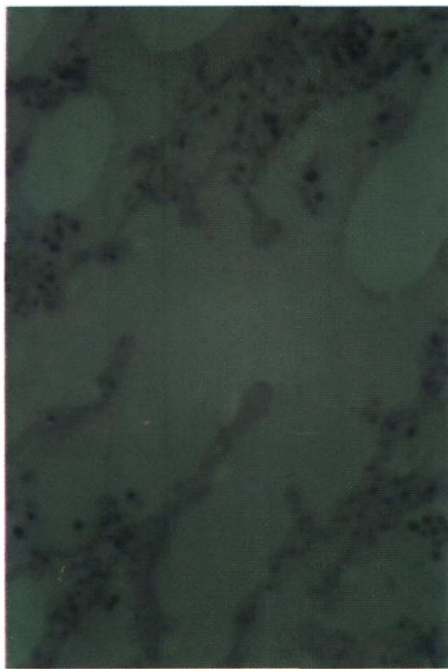


Fig. 88. Edem pulmonar (colorație H.E.: $\times 70$).



Fig. 89. Edem cerebral (colorație H.E.: $\times 70$).

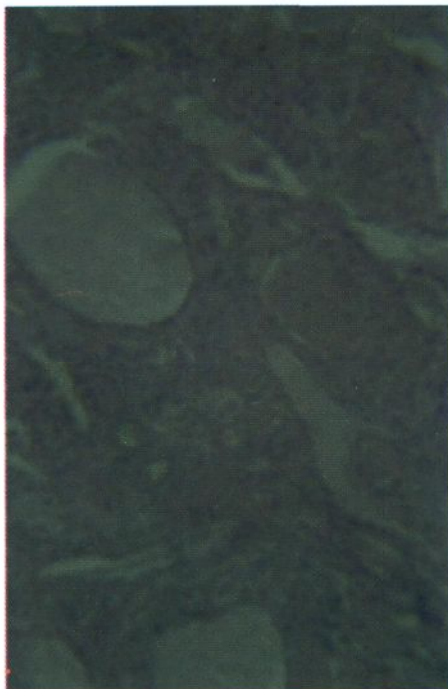


Fig. 90. Stază limfatică în peretele intestinului subțire (colorație H.E.: $\times 70$).

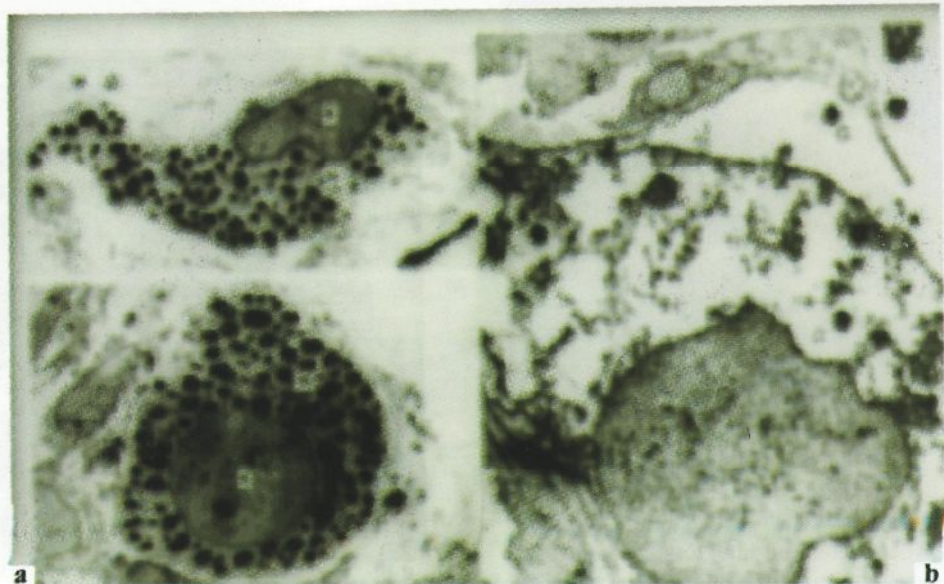


Fig. 91. Degranularea labrocitului (microscopie electronică):
 a - ultrastructura normală a labrocitului ($\times 8000$): N - nucleu; M - mitocondrii; G - granule specifice ale labrocitelor; b - expulzarea granulelor din citoplasma labrocitului prin rupturi ale membranei celulare ($\times 20\,000$).

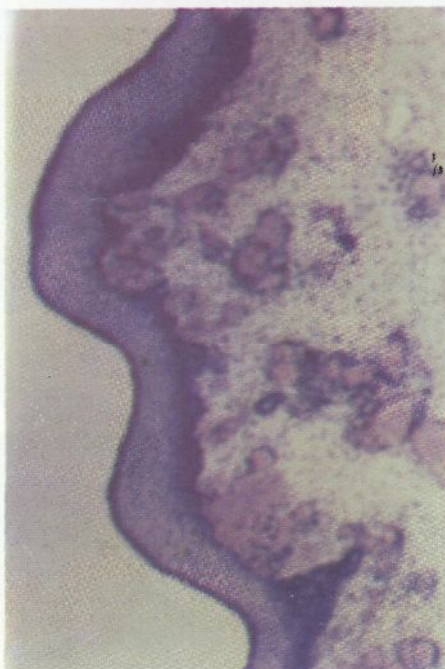


Fig. 92. Hiperemia inflamatoare a pielii în flegmon (colorație H.E.: $\times 70$).

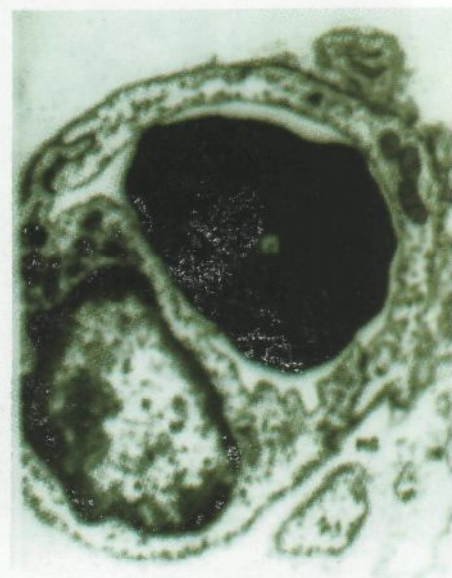


Fig. 93. Pinocitoză în endoteliul capilarului (microscopie electronică: $\times 11\,000$):
 N - nucleu; Er - eritrocit; En - endoteliu;
 MB - membrană bazală; VP - vezicule pinocitozice.

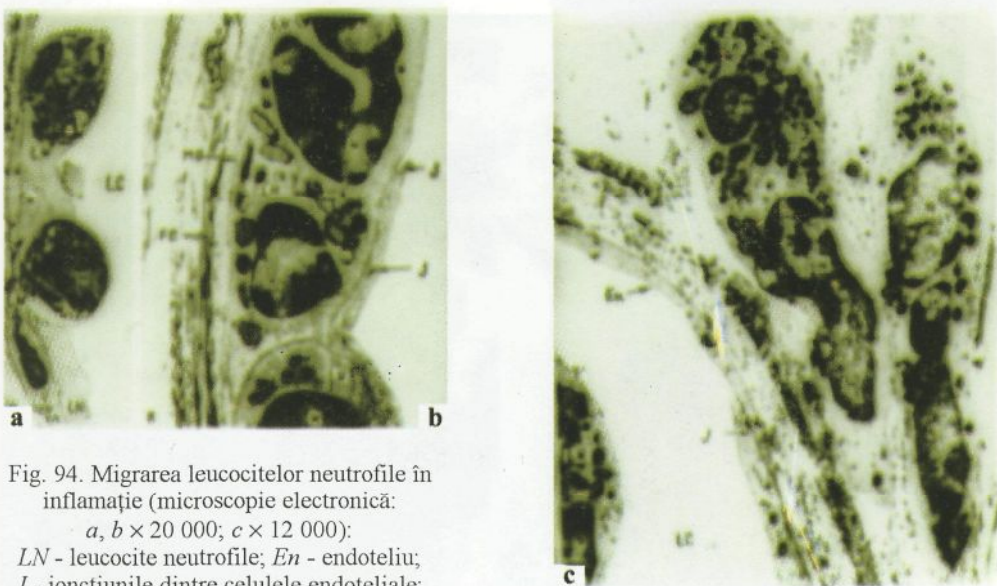


Fig. 94. Migrarea leucocitelor neutrofile în inflamație (microscopie electronică):

a, b $\times 20\,000$; *c* $\times 12\,000$;

LN - leucocite neutrofile; *En* - endoteliu;
J - joncțiunile dintre celulele endoteliale;
LC - lumenul capilarului; *N* - nucleul
leucocitului; *MB* - membrana bazală;
FC - fibre colagene.

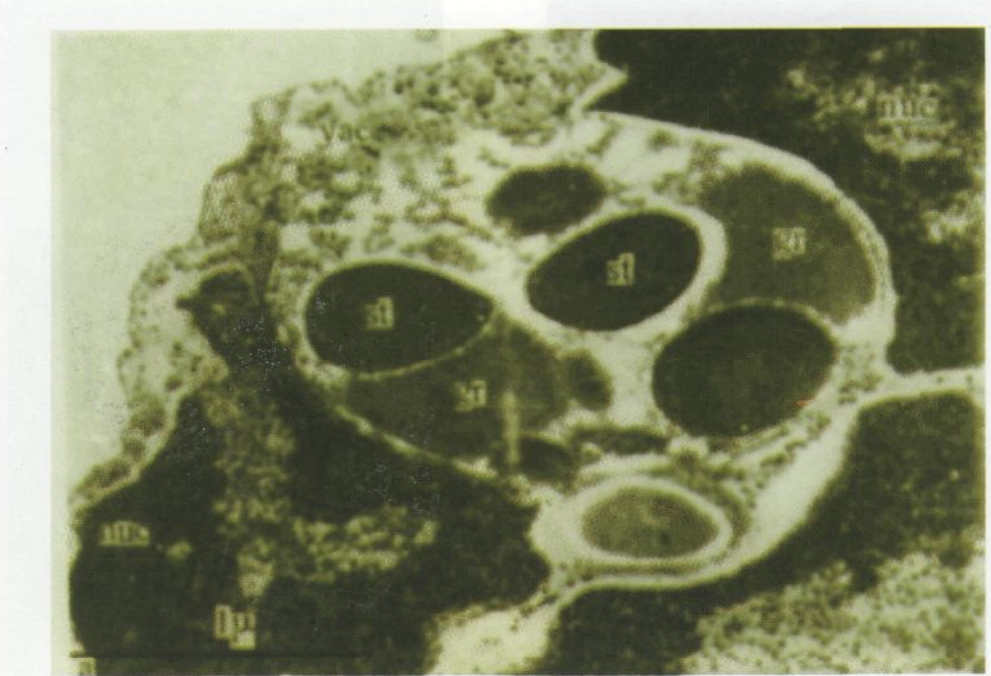


Fig. 95. Fagocitoză (microscopie electronică: $\times 15\,000$):

nuc - nucleul; *vac* - vacuolă de digestie;
gr - granulațiile citoplasmatiche, care conțin fermenti hidrolitici; *st* - stafilococ.

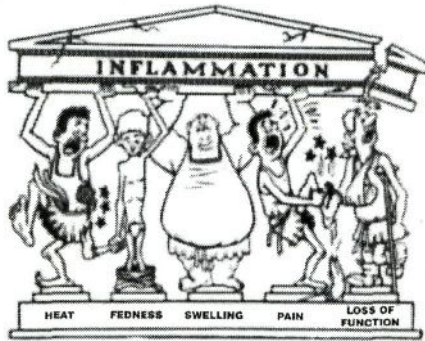


Fig. 96. Semnele clinice ale inflamației (heat - căldură; fedness - roșeață; swelling - tumefacție; pain - durere; loss of function - alterarea funcției) (după D.A. Willoughby și W.G. Spector, 1968).

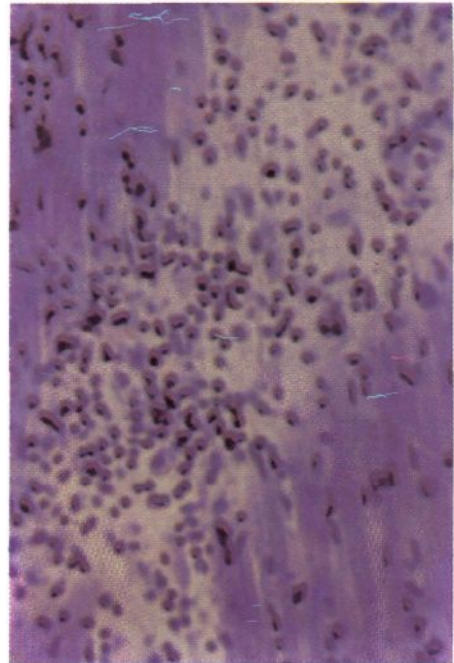


Fig. 97. Infiltat celular în focarul inflamator (miocardită productivă intersticială). Colorație H.E.: $\times 110$.

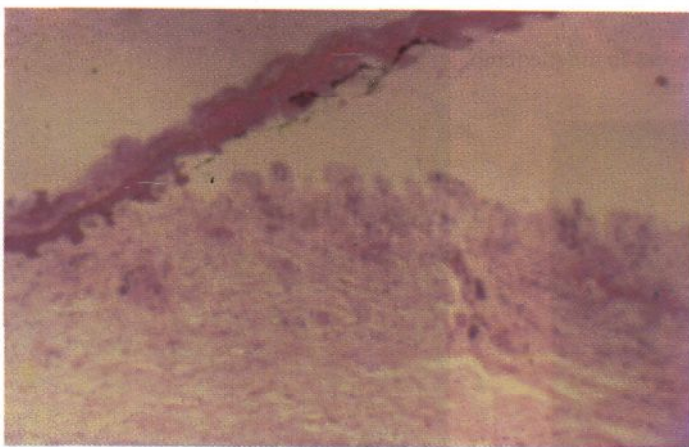


Fig. 98. Veziculă epidermică cu exsudat seros (colorație H.E.: $\times 70$).

Fig. 99. Dermatită buloasă.



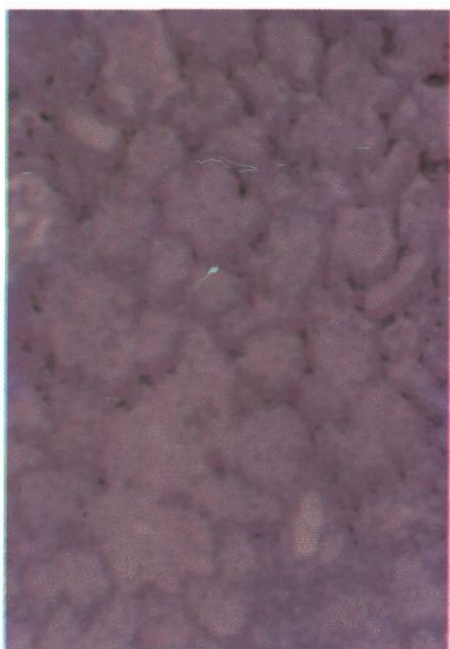


Fig. 100. Pneumonie focală seroasă
(colorație H.E.: $\times 70$).



Fig. 101. Traheată crupoasă în difterie (cruk
difteric).



Fig. 102. Pneumonie francă lobară (stadiul
de hepatizație cenușie).

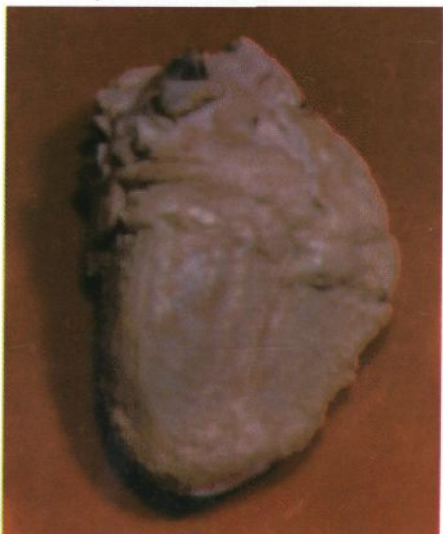


Fig. 103. Pericardită fibrinoasă (cord vilos).

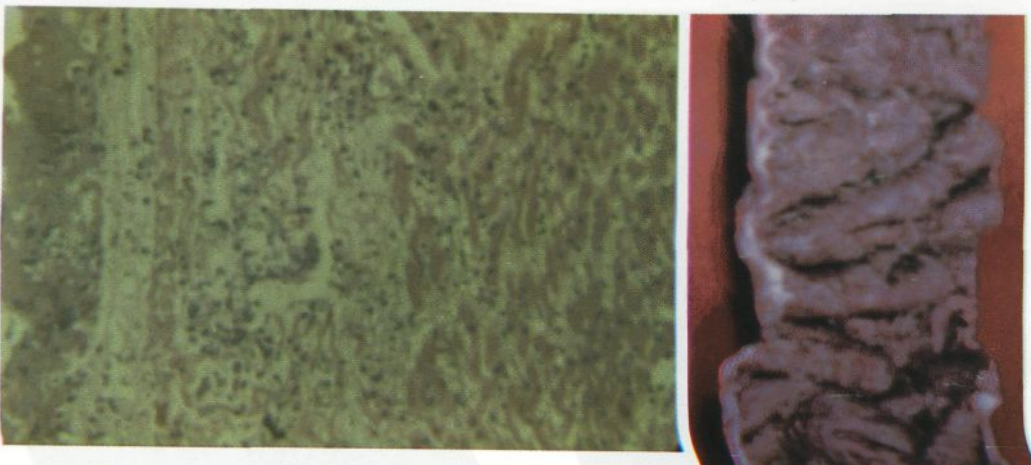


Fig. 104. Pericardită fibrinoasă
(colorație H.E.: $\times 70$).



Fig. 105. Colită fibrinoasă difteroidă.



Fig. 106. Abcese hepatice.

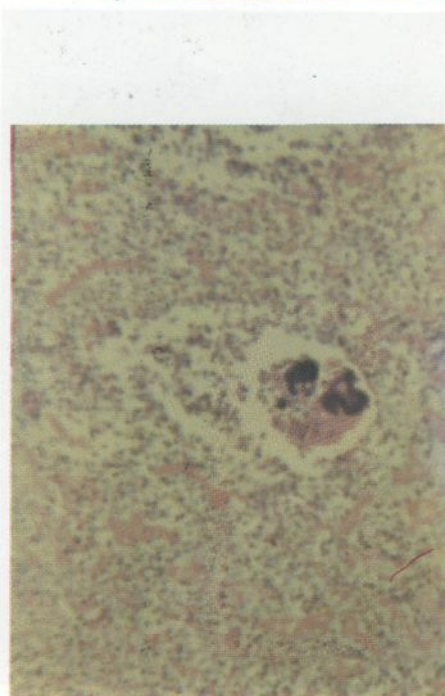


Fig. 107. Abcese metastatice în rinichi
(colorație H.E.: $\times 70$).

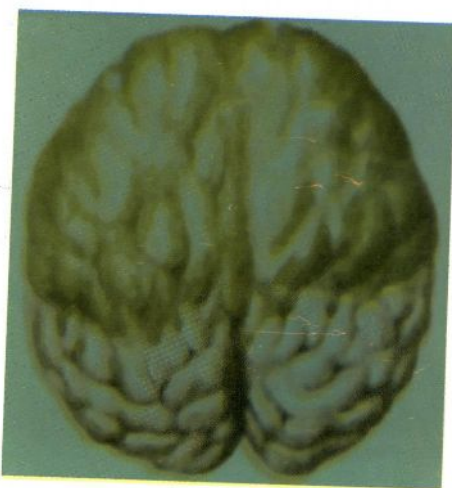
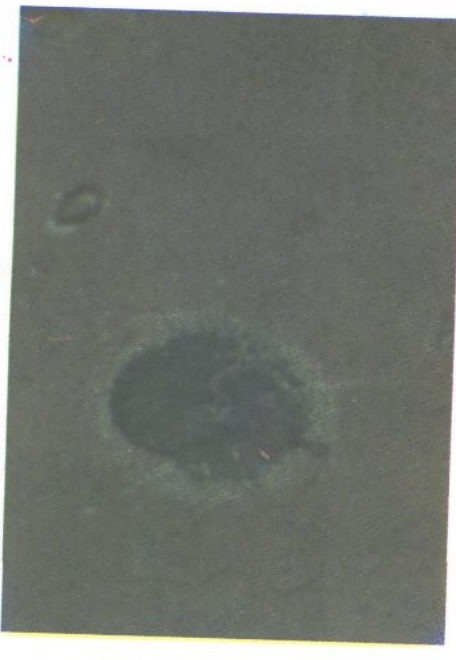


Fig. 109. Leptomeningită purulentă.

Fig. 108. Abces cerebral acut
(colorație H.E.: $\times 70$).



Fig. 110. Apendicită acută flegmonoasă.

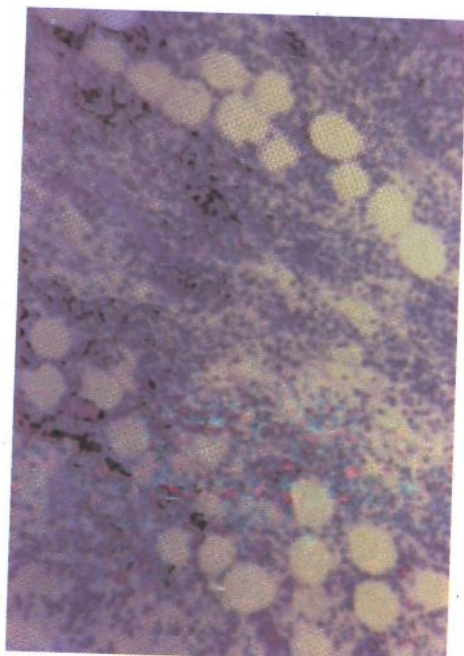


Fig. 111. Inflamația flegmonoasă a țesutului celulo adipos (celulită flegmonoasă).
Colorație H.E.: $\times 110$.

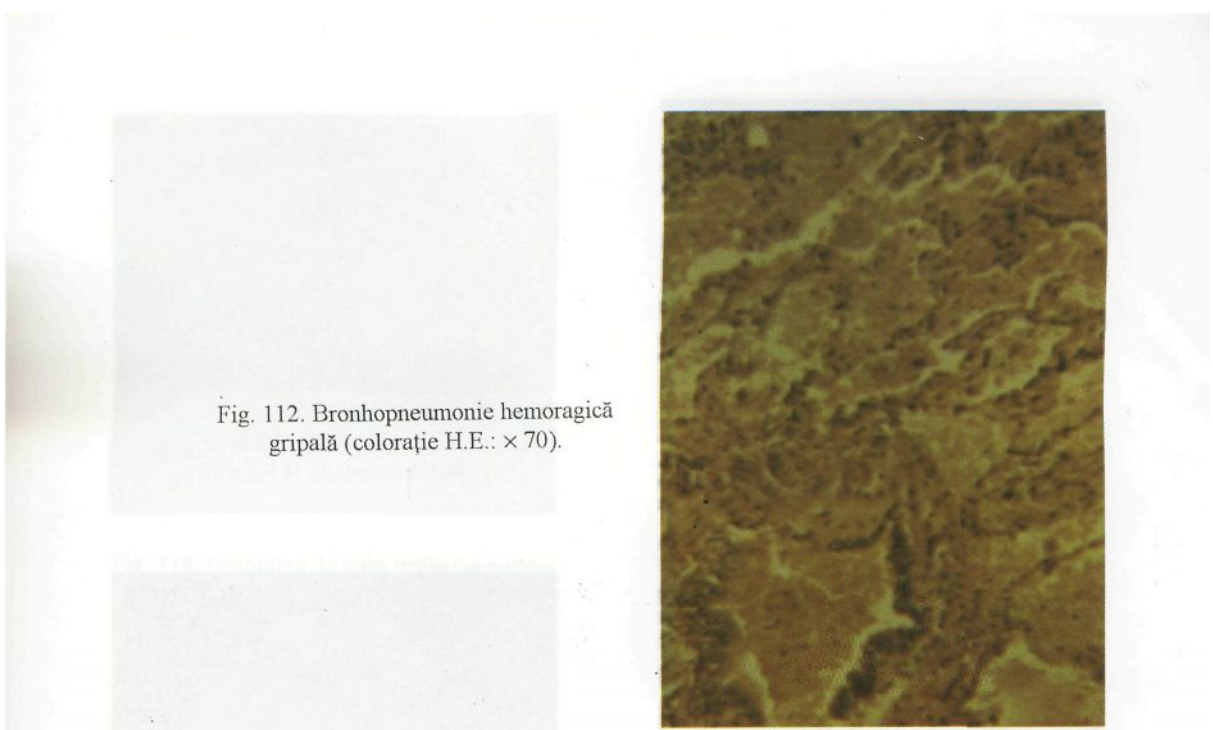


Fig. 112. Bronhopneumonie hemoragică
gripală (colorație H.E.: $\times 70$).

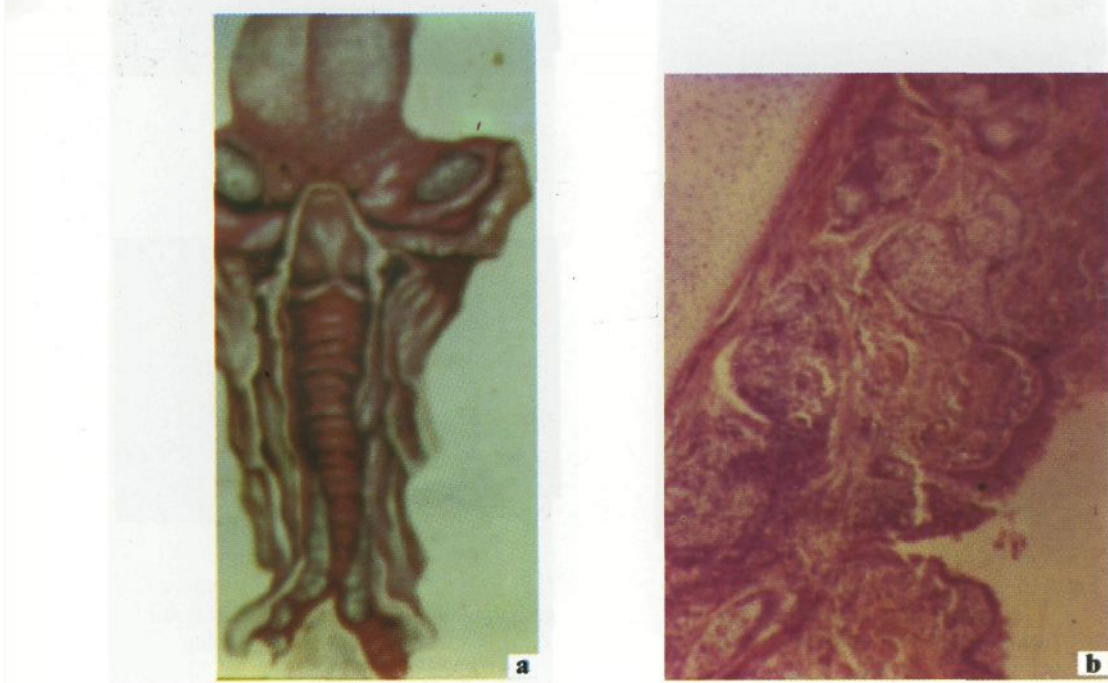
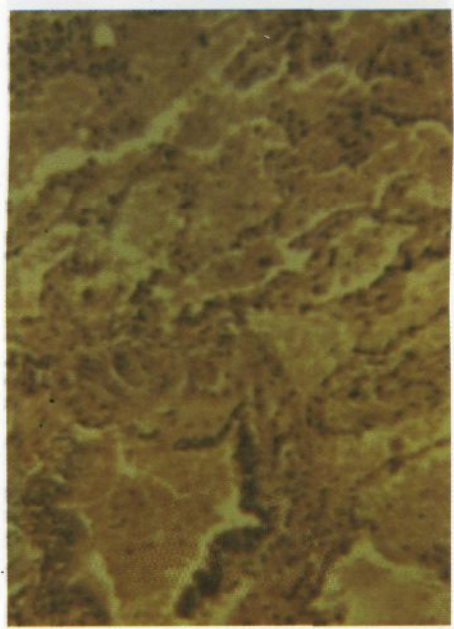


Fig. 113. Traheită catarală:
a - tablou macroscopic; b - aspect
microscopic (colorație H.E.: $\times 70$).



Fig. 114. Pneumonie interstițială
(colorație H.E.: $\times 70$).

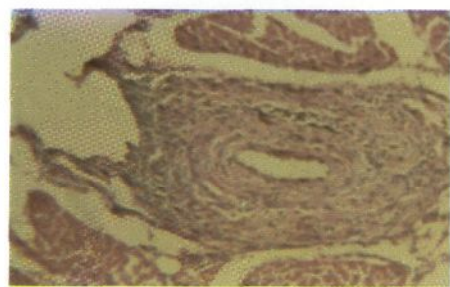


Fig. 115. Vasculită productivă în periarterita nodoasă (colorație H.E.: $\times 70$).



a



a



b

Fig. 116. Inflamația granulomatoasă a endo-
și miocardului în reumatism
(colorație H.E.: a - $\times 40$; b - $\times 110$).



b

Fig. 117. Inflamația productivă
granulomatoasă în echinococoza ficatului:
a - aspect macroscopic; b - tablou
microscopic; colorație H.E.: $\times 70$.



Fig. 118. Granulom de corp străin (granulom de sutură). Colorație H.E.: $\times 70$.

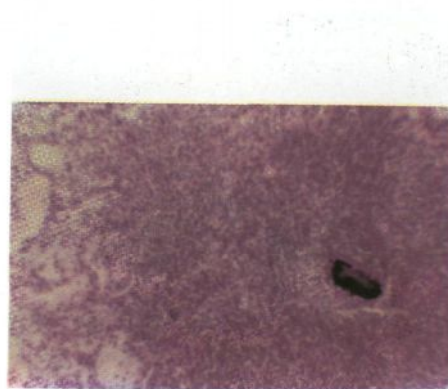


Fig. 119. Granulom actinomicotic în plămân (colorație H.E.: $\times 70$).



Fig. 120. Tuberculoză pulmonară miliară.

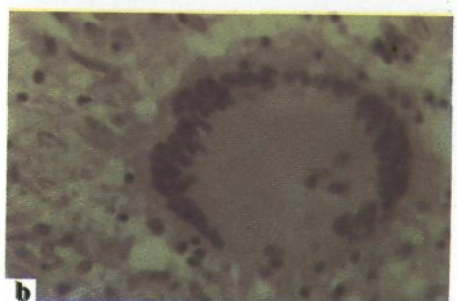


Fig. 121. Granulom tuberculos în plămân (colorație H.E.: a - $\times 70$; b - celulă gigantă de tip Langhans $\times 280$).

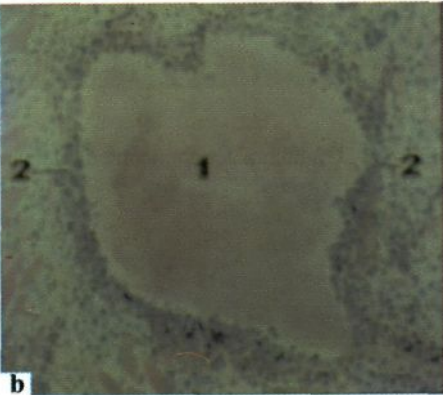


Fig. 122. Gonă sifilitică în ficat:
a - aspect macroscopic; b - tablou microscopic (colorație H.E.: $\times 70$): 1 - focar de necroză; 2 - cordon celular.

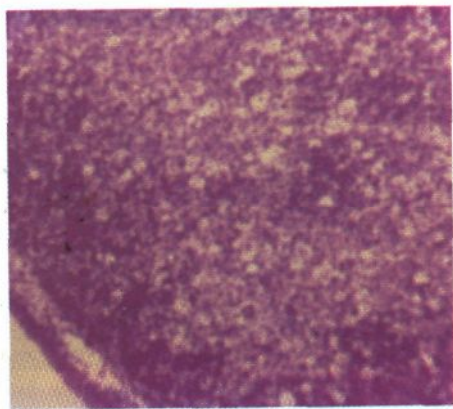


Fig. 125. Granulom rinoscleromatos (colorație H.E.: $\times 70$).

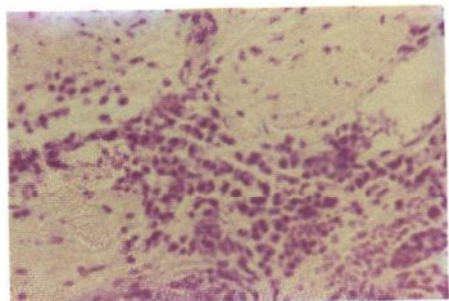


Fig. 123. Mezaortită sifilitică (colorație H.E.: $\times 70$).

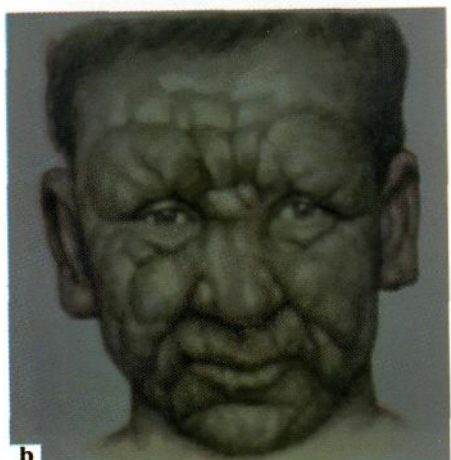
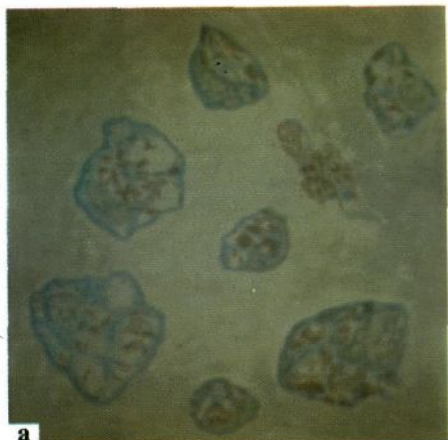


Fig. 124. Lepră lepromatoasă:
a - celule gigante Virchow în leprom; colorație Ziehl-Nielsen: $\times 140$; b - aspect macroscopic al leproamelor.



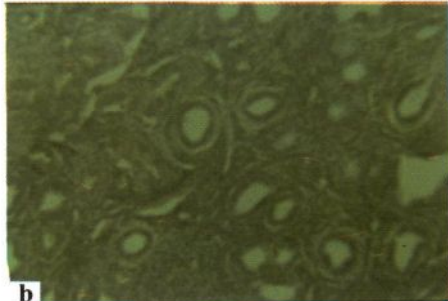
Fig. 126. Polipoză gastrică.



Fig. 128. Polip traheal.



a

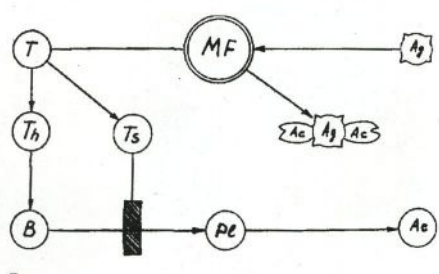


b

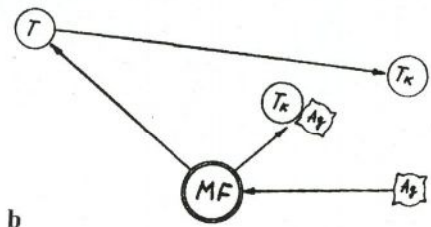
Fig. 127. Polip endometrial:
a - aspect macroscopic; b - tablou
microscopic (colorație H.E.: $\times 70$).



Fig. 129. Condilom acuminat
(colorație H.E.: $\times 70$).



a



b

Fig. 130. Schema reacțiilor imune:
a - umorală; b - celulară; B - limfocit B;
T - limfocit T; MF - macrofag; Ag - antigen;
Ac - anticorp; Tk - limfocit-T-killer;
Th - limfocit-T-helper (ajutător).



Fig. 131. Involuția accidentală a timusușului
(colorație H.E.: $\times 70$).



Fig. 132. Timomegalie.



Fig. 133. Hipoplazia timusului în sindromul imunodeficitar combinat
(colorație H.E.: $\times 70$).

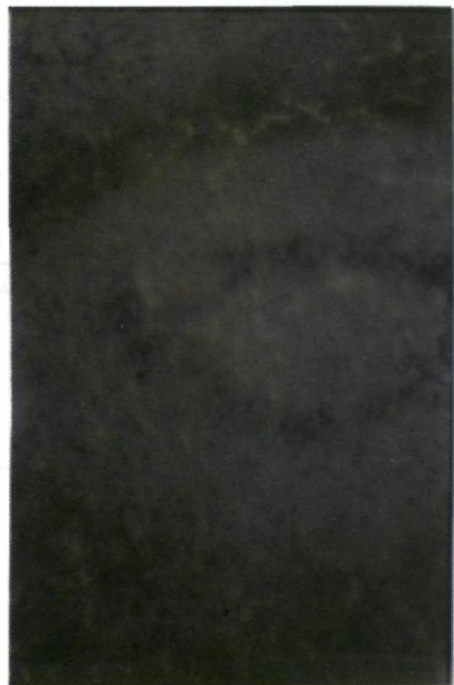


Fig. 135. Hiperplazia și plasmatizarea foliculilor lineali în stimularea antigenică
(colorație H.E.: $\times 70$).



Fig. 134. Hiperplezia foliculilor ganglionilor limfatici în stimularea antigenică
(colorație H.E.: $\times 70$).

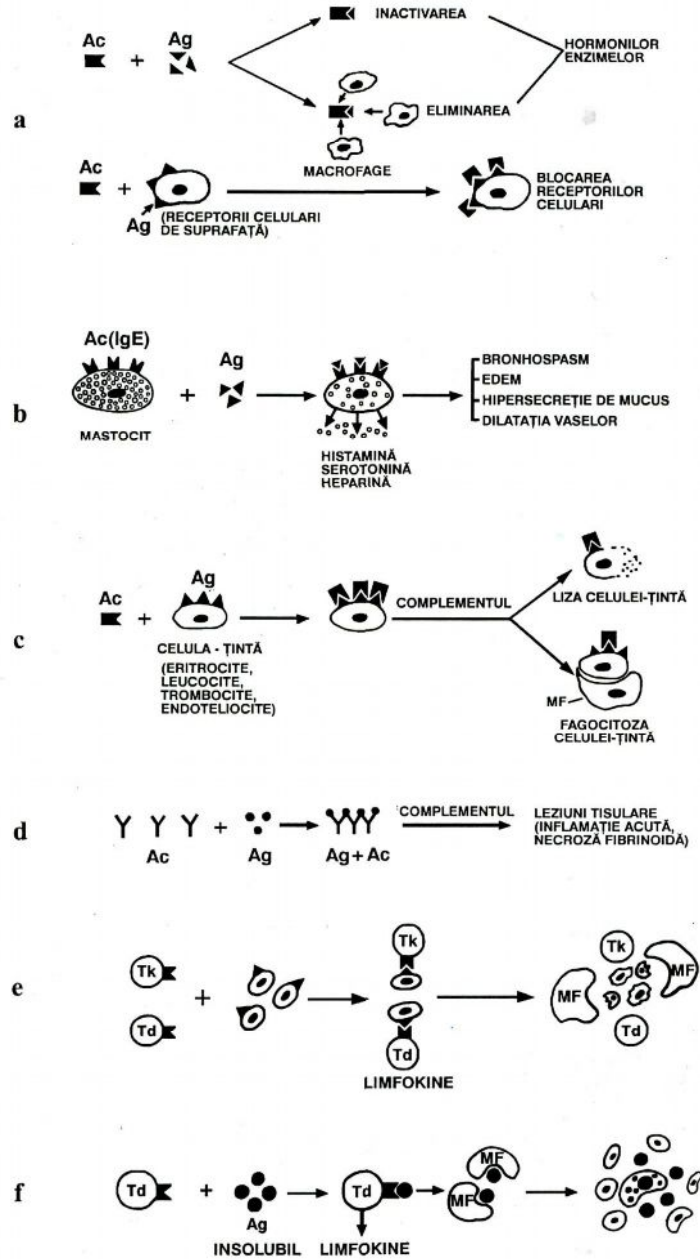


Fig. 136. Schema mecanismelor imunopatologice:
a - reacția de inactivare și neutralizare; **b** - reacția anafilactică imediată; **c** - reacțiile citotoxice și citolitice; **d** - reacția complexelor imune toxice; **e** - reacția de sensibilizare tardivă (de tip celular); **f** - reacția granulomatoasă.



Fig. 137. Rinită alergică
(colorație H.E.: $\times 70$).



Fig. 138. Tiroidită autoimună (guşa Hashimoto) (colorație H.E.: $\times 70$).

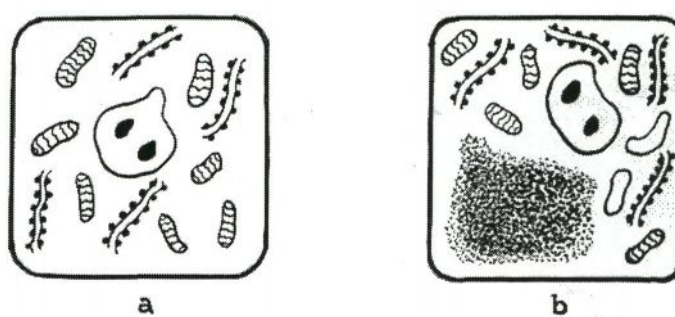


Fig. 139. Regenerarea intracelulară:
a - celulă normală; b - necroza parțială a celulei și hiperplazia
organitelor citoplasmaticce restante cu restabilirea numărului lor.

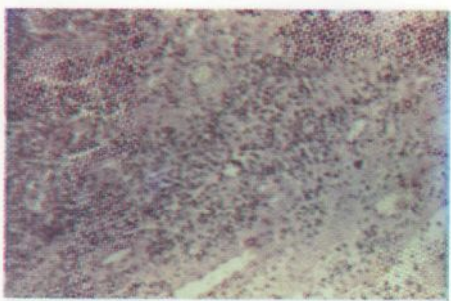


Fig. 140. Ţesut de granulaţie
(coloraţie H.E.: $\times 70$).

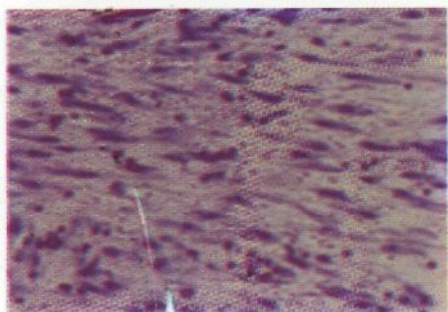


Fig. 141. Ţesut de granulaţie în curs de
maturare (coloraţie H.E.: $\times 70$).

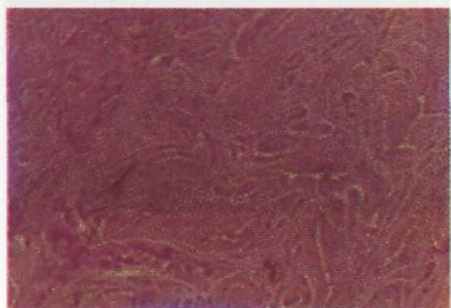


Fig. 142. Ţesut conjunctiv fibros
(cicatriceal) (coloraţie H.E.: $\times 70$).



Fig. 143. Regenerarea muşchiului striat
scheletic (coloraţie H.E.: $\times 70$).

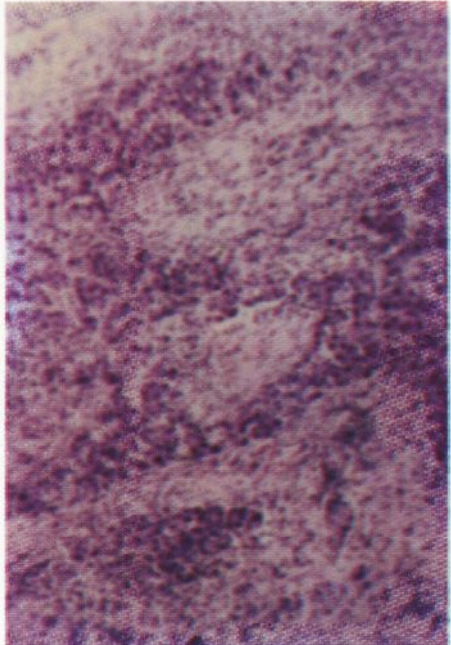


Fig. 144. Regenerarea ficatului în ciroză
(coloraţie H.E.: $\times 70$).

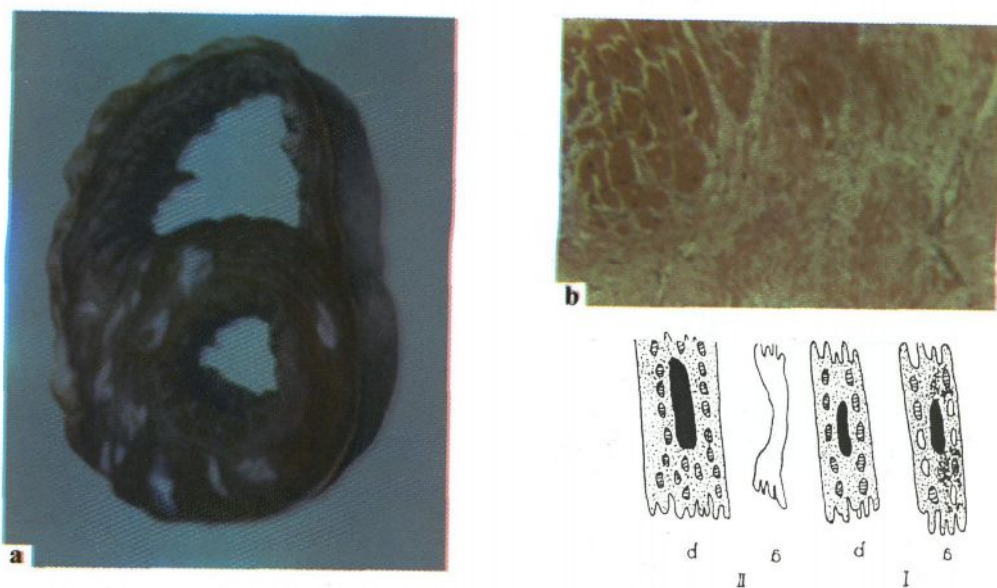


Fig. 145. Cardioscleroză macrofocală postinfarct: *a* - aspect macroscopic; *b* - tablou microscopic (colorație H.E.: $\times 70$); *c* - regenerarea intracelulară a miocardului: I (*a, b*) - regenerarea reparativă intracelulară; II (*a, b*) - regenerarea intracelulară cu hipertrofia regenerativă a cardiomiocitului restant (după D.S. Sarkisov, 1940).

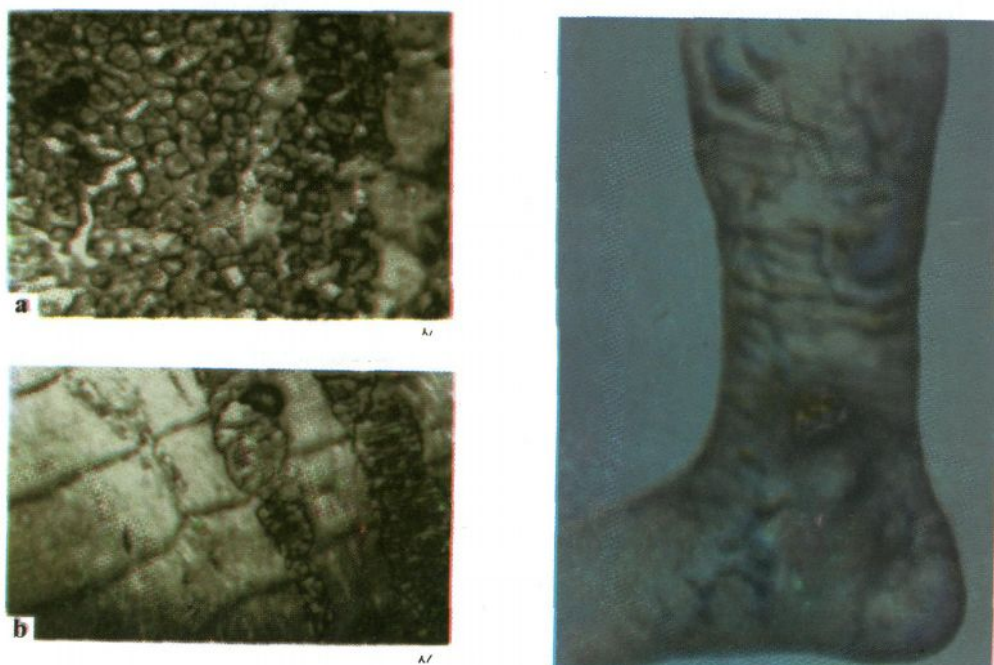


Fig. 146. Hipertrofia regenerativă a miocardului (electronmicrografie $\times 16\,000$):
a - hiperplazia mitocondriilor și miofibriilelor; *b* - hipertrofia mitocondriilor.

Fig. 147. Ulcerație atonă (trofică) a pielii în dilatarea varicoasă a venelor membrelor inferioare.



Fig. 148. Exostoze în regiunea capului femurului și a bontului de amputație a osului femural.



Fig. 149. Calus osos vicios în fractura femurului.



Fig. 150. Cicatrice cheloidiană
(colorație H.E.: $\times 70$).

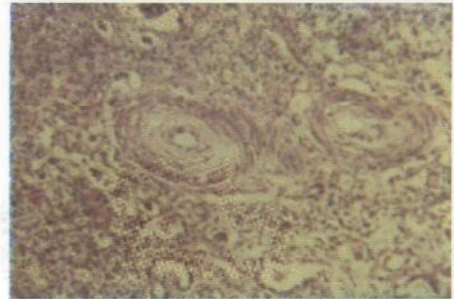


Fig. 151. Hiperplazia membranei elastice a arterei în hipertensiunea arterială
(colorație H.E.: $\times 70$).

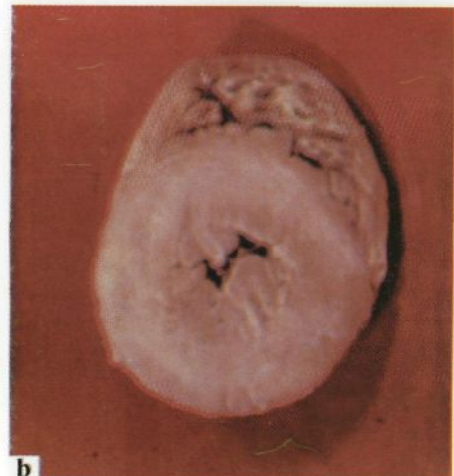


Fig. 152. Hipertrofia ventriculului stâng al inimii:
a - secțiune longitudinală; b - secțiune transversală.



Fig. 153. Hipertrofia ventriculului drept al inimii:
a - aspect exterior; b - secțiune longitudinală.